

II-266 開水路層流中に吊された球に働く流体力

協和コンサルタンツ 逃目英正
東京工業大学 村田和夫
東京工業大学 福岡慶二

まえがき セン断流中で流体と球が相対運動している時の球に作用する流体力を知ることは、粒子浮遊流の力学特性を理解する上で、重要である。本研究は、その第一歩として、開水路層流中に吊され、静止している球に作用する抗力と揚力と測定し、固定境界(底面)、変形境界(水面)、流速分布の流体力に及ぼす影響を明らかにした。

実験装置と実験方法 境界の存在と流速分布が流体力に如何なる影響を及ぼすかと調べるには、乱流変動の影響を取り除くことが望ましい。そこで、グリセリン溶液を用いた層流で実験を行なった。水路は、長さ $2m$ 、幅 $0.15m$ 、深さ $0.1m$ のアクリル製循環水路である。用いた球は、市販の玉うきで、表-1に示すものを用いた。球内に油、グリセリン溶液、水、鉛玉など重心が偏らないようにつめ、それぞれの径の球に対して $4\sim 10$ 個の重量の異なる球を作成し、各種類の流量について流体力を測定した。等流区間で、図-1のように球を下から支持した時、支点Oのまわりのモーメントの釣り合により次式を得る。

$$F \cdot y_c + \int_0^{y_c-a} g_i(y) \cdot y \, dy - (L + W_i) \cdot x_i = 0 \quad (1)$$

グリセリン重量のみが異なる同一径の球を同じ高さに支持し、

一連の(y_c, W_i, x_i)の測定より、糸の分布荷重 $g_i(y)$ を知る。

(1)式から F と L を求めることができる。しかし、球が水面に近づくにつれて糸の抗力の影響が大きくなる。この場合、球を上方より支持し、(1)式と類似の関係式として F と L を求めた。分布荷重 $g_i(y)$ は次のようにして求めた。用いた糸は、0.2号釣糸で、 $0.06mm$ と細く、糸に加わる力も高さ数 $+mg$ 重で、球に作用する抗力より十分に小さい。従って、糸の抗力は、一樣流中の円柱に作用する抗力として求めることができる。非常に小さなRe数に対する一樣流中の円柱の抗力はLambによつて、次式で与えられている。

$$g_i(y) = 4\pi\mu U(y) / (\frac{1}{2} - \ln(1.781 \cdot Re/8)) \quad (2)$$

(1)式と(2)式から、 F と L を求めた。実測した球の抗力、揚力と水深の関係と、球径とパラメータとして、図-2に示す。点は球の中心位置、実線は下から支持し、点線は上から支持した場合である。

境界のある層流セン断流中の抗力 一樣流中の球の抗力係数、定義の値、セン断流中の抗力係数を球の中心にわたる流速 U_c 用いて次のように表示する。

$$C_{DC} = F / \frac{1}{2} \rho U_c^2 \pi a^2 \quad (3)$$

図-3は、セン断流中の球の抗力係数 C_{DC} から、これと同じRe数を持つ一样流の抗力係数 C_{D0} と差引いたもの、すなわち、壁と速度勾配のみに起因する抗力係数 $(C_{DC} - C_{D0})$ を縦軸に、球径と壁の影響を考慮を入れたセン断流の特性量 a/λ なる無次元量を横軸にとって整理している。横軸の値が 10^3 以下で若干傾向が異なるのは、球が水

球	直径(cm)
A	0.74
B	0.86
C	1.00
D	1.14
E	1.32
G ₁	1.59
G ₂	1.61
I'	1.89
I	2.10
J	2.49

表-1 球の種類

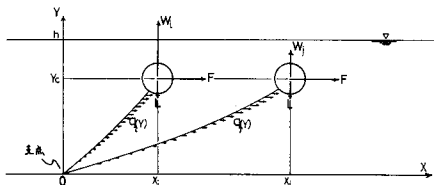


図-1 球の支持方式

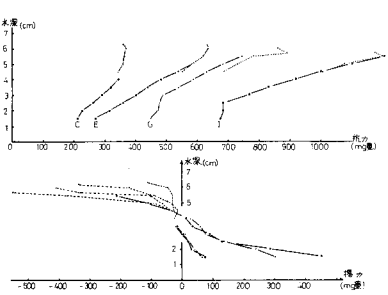


図-2 抗力と揚力の実測値
(流量Ⅲ)

面に近づき逆流抵抗が加わるにめでわかる。著者らの測定値は、近似的に次式で表わすことができる。

$$(C_{Dc} - C_{D0}) \propto \left\{ \left(\frac{du}{dy} \times \frac{ds}{U_c} \right) / Rec^2 \right\}^{1/2} \quad (4)$$

比較的ため、Eichhorn²⁾による内管内層流中の回転自由な球の抗力係数と同図上に示す。Sphere NO.3 ($\%_{ds} = 6.8$) と Sphere NO.4 ($\%_{ds} = 6.9$) は、ほぼ(4)式の関係を満足している。一方、Sphere NO.1 ($\%_{ds} = 3.3$) と Sphere NO.2 ($\%_{ds} = 4.5$) は、(4)式の関係よりも大きな値を示す。これは、Sphere NO.1 では、管径と粒径の比 $\%_{ds}$ が他の比で小さく、管壁の影響が大きいためである。Sphere NO.2 も管壁の影響が大きく、しかも $Rec \approx 220$ で、著者らで Spheres NO.3, 4 の Rec よりも大きいためと考えられる。

境界のわら層流セン断流中の揚力 揚力の実測値を示す図-2によれば、 $y_c = 3.5 \text{ cm}$ 附近で揚力の符号が変化している。この位置は、球による水面の変形が始まる位置とはほぼ一致し、変形が大きい程、負の揚力が大きくなる。負の揚力には、水面の変形が不可欠である。揚力係数を次式で定義する。

$$C_L = L / \frac{1}{2} \rho U_c^2 \pi a^2 \quad (5)$$

図-4 は負の揚力係数 $-C_{Lb}$ と底から球の上面までの距離を球が流体中に存在しない時の乱されていない水深から差引いたものと球径で除し、それに Rec を乗じた無次元量の関係を示す。球が水面に近くにつれ、流れの慣性力が大きいために、球による水面の変形も大きくなり、測定値が散ばる傾向がある。しかし、負の揚力が水面の変形と関係していることは確かである。図-5 は、正の揚力に関する揚力係数 C_{Lb} と壁の影響と球径を考慮に入れてセン断流の無次元量 $\frac{du}{dy} \cdot \frac{ds}{U_c} \cdot \frac{1}{Rec}$ の関係を示す。図中に、Eichhorn らの実測値を再整理してプロットしている。回転のない正の揚力に関する著者らの実験値によれば、 C_{Lb} は $\frac{du}{dy} \cdot \frac{ds}{U_c} \cdot \frac{1}{Rec}$ によって一義的に決定される。Eichhorn らの実験値によれば、回転のない球の C_{Lb} ($\frac{du}{dy} \cdot \frac{ds}{U_c} \cdot \frac{1}{Rec}$ の小さな側) は、著者らの実験値とはほぼ一致する関係を示し、回転数が増大するにつれ ($\frac{du}{dy} \cdot \frac{ds}{U_c} \cdot \frac{1}{Rec}$ の大きい側)、回転による揚力増加のために C_{Lb} もやや大きくなることを示している。従って、回転のない球の揚力係数は、次式で与えられる。

$$C_{Lb} = L_b / \frac{1}{2} \rho U_c^2 \pi a^2 \propto \left(\frac{du}{dy} \cdot \frac{ds}{U_c} \cdot \frac{1}{Rec} \right)^2 \quad (6)$$

層流セン断流中の揚力と抗力の関係 揚力が正の領域では、速度勾配と壁の存在が抗力と揚力に及ぼす役割とは、同様であり、式(4)と式(6)から次の関係が得られる。式(7)と実験値の関係を図-6 に示す。

$$C_{Lb} / (C_{Dc} - C_{D0}) \propto \left(\frac{du}{dy} \cdot \frac{ds}{U_c} \right)^{3/2} / Rec \quad (7)$$

式(7)は、層流セン断流中の揚力と抗力の関係について、かなりの良い説明を与えていく。

1) Lamb, H., Hydrodynamics, 6th ed. 1932, 2) Eichhorn, R. and Small, S., J.F.M. vol.20, 1964.

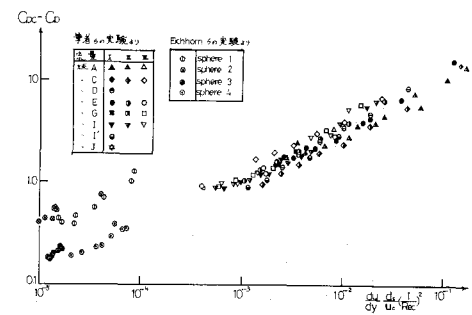


図-3 $(C_{Dc} - C_{D0}) \propto \frac{du \cdot ds}{dy \cdot U_c \cdot Rec^2}$ の関係

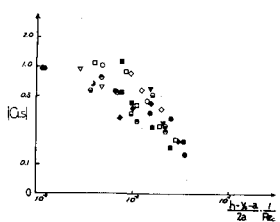


図-4 負の揚力

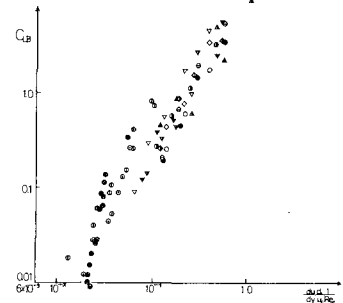


図-5 $C_{Lb} \propto \frac{du \cdot ds}{dy \cdot U_c \cdot Rec}$ の関係

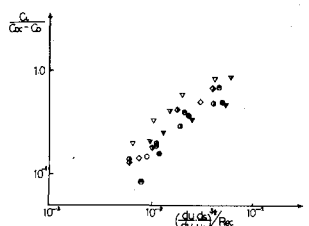


図-6 抗力と揚力の関係